

# 岩質材料の破壊パターン解析と考察

日本大学工学部 正員 田野 久貴  
同上 学生員○塚崎 信幸

## 1.はじめに

比較的硬い岩石・モルタルあるいは石膏などの脆性材料の一軸圧縮下における破壊は、いわゆる分離破壊が顕著である。そこで本研究では、このような脆性材料のピーク強度以後のいわゆるPost-failure領域の荷重-変位関係のメカニズムを明らかにするための基礎的研究としてその破壊パターンのマイクロコンピュータによる解析を行った。

## 2. 実験方法

供試体は $6 \times 6 \times 6$ cmの石膏の角柱を使用し、圧縮時にロードセル及び変位計を用いて荷重-変位曲線をX Yレコーダーで記録した(図-1)。また、加圧板による供試体の拘束を軽減するために、その間にシリコングリース・テフロンシートを用いた。

一定応力速度にて、圧縮変位量が所定の値(0.5, 1.0, 1.5mm)に達した後除荷する。その後供試体中央を軸方向に直角に切断し、クラックの発生状態をスケッチした。この例を図-2に示す。このスケッチをもとにディジタイザーによりマイクロコンピュータに取り込み、すでに報告した破壊パターンに関する各パラメータについて解析を行った。

## 3. 結果及び考察

各変位量における各供試体の強度に関する実験結果を表-1ならびに、全供試体の平均荷重-変位曲線を図-3に示す。

次に、実験結果をもとにマイクロコンピュータで解析した結果を述べる。解析においては、クラック長平均、ラウンドネス(要素面積/周長)などいくつかの項目について行っているが、特にここでは要素面積と図心ベクトルとの関係を表-2に、要素形状別平均面積を表-3に、要素形状発生率を表-4に示す。

図-2を見ると、面積の小さい要素ほど外側に発生し、面積の大きい要素は中心に存在する傾向にあり、このことは表-2の値からも読み取ることができる。すなわち、表-2において“ME-Z Vect”とは要素面積と図心ベクトル(供試体中心から各要素の図心までの距離)との関係を表しているが、負の相関つまり、面積の小さい要素ほど図心ベクトルが大きく、供試体の外側に多く位置していることを示している。さらに表-3を見てみると全体的な傾向として、要素の形状(角数)が高次に

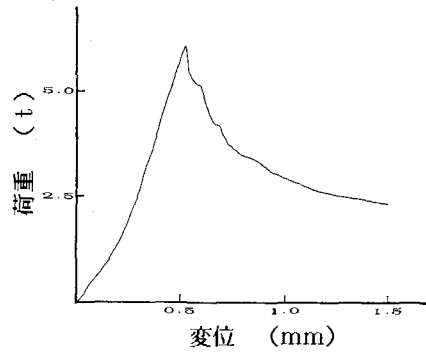


図-1 荷重-変位曲線

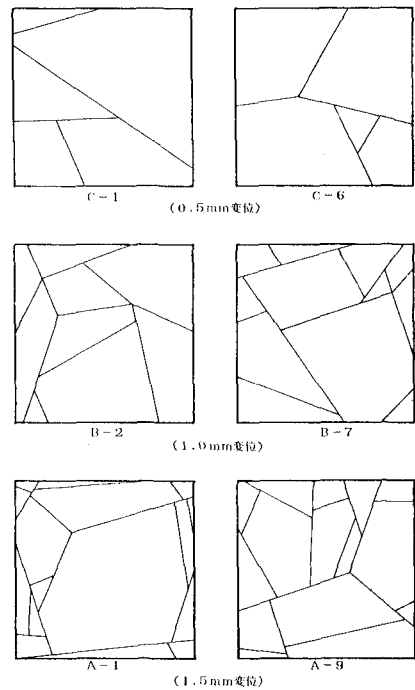


図-2 クラック発生状態の例

なると面積が大きくなっている。これらのことから、破壊が進行すると要素面積の小さい三角形や四角形は供試体端部に発生し、五角形、六角形といった高次の要素は供試体内部に発生すると考えられる。

次に実験より得た要素形状発生率と、本研究とは別に行われたシミュレーションの結果<sup>1)</sup>との比較を行うと、表-4を見てもわかるように、全体的にはシミュレーション結果と比べて三角形は少なめ四角形は多めの値となっているが、両者の和はシミュレーション結果と同等の値を示している。0.5 mm変位については、三角形の発生率がシミュレーション結果の3.5%に対して実験結果は12.4%とかなり低い値を示しているが、この変位量はピーク荷重に達する前後の変位なので破壊があまり進行していない状態であり、断面の外周近傍における端面破壊による三角形の発生が少ないのではないかと考えられる。

No.	供試体寸 径 (mm) $\times 10^{-2}$	供試体寸 高さ H $\times 10^{-2}$ (mm)	ピーコ高さ $P_{max}$ (kg)	最大応力 $\sigma_{max}$ (kg/mm <sup>2</sup> )	静荷重 $P_{static}$ (kg)	静荷重力 $(kg/mm^2)$	ランク R $\times 10^{-2}$ (kg/mm)
1	60	41.00	45	111.0	3320	89.9	1.85
2	50	42.00	41	113.6	3020	103.3	2.08
3	60	35.40	41	122.6	3960	106.9	2.45
4	50	40.00	42	125.0	3700	104.4	2.00
5	60	34.00	40	91.8	3380	91.2	1.66
6	50	45.00	48	124.4	4100	114.4	2.08
7	50	48.00	46	125.0	3700	107.5	2.00
8	50	40.00	48	109.2	3890	109.9	2.27
9	50	33.80	46	119.3	3740	101.8	2.08
10	50	49.40	46	134.1	2500	67.7	2.31
11	100	69.50	40.5	162.0	3110	84.4	2.88
12	100	80.60	49	164.7	2710	73.4	2.99
13	100	44.20	59	111.0	3020	92.8	1.11
14	100	50.00	70	118.0	3120	92.1	1.85
15	100	46.20	55	124.0	3260	87.5	2.00
16	100	45.80	72	122.9	3180	85.5	1.87
17	100	47.00	61	125.0	3530	90.0	1.65
18	100	47.50	66	129.6	2880	78.0	2.19
19	100	45.00	71	121.7	4300	116.3	1.69
20	100	48.20	71	131.0	3460	94.0	1.67
21	150	48.60	40	131.6	2140	58.1	1.89
22	150	47.30	66	127.9	2170	55.0	1.77
23	150	50.00	59	121.0	2100	52.0	2.09
24	150	53.00	69	145.0	2110	57.1	2.16
25	150	57.70	68	153.7	2180	58.1	2.46
26	150	57.00	72	156.1	2230	60.0	2.11
27	150	57.80	66	156.1	2230	69.9	2.48
28	150	57.40	60	156.2	2250	68.0	2.26
29	150	60.20	49.5	161.0	1980	62.4	2.50
30	150	59.00	52.6	159.1	2160	68.2	2.37

表-1 実験結果

角形	面積 S			面積 S		
	0.5 mm	1.0 mm	1.5 mm	0.5 mm	1.0 mm	1.5 mm
3	1.42	80.72	1.05	89.55	0.76	90.77
4	4.56	60.59	2.54	68.85	1.79	69.97
5	13.90	63.27	6.20	74.89	5.93	79.89
6	0.0	0.0	15.93	20.41	7.71	69.67
7	15.16	1.51	10.48	22.61	7.62	27.56
8	0.0	0.0	0.0	0.0	11.45	0.0

表-3 要素形状別平均面積

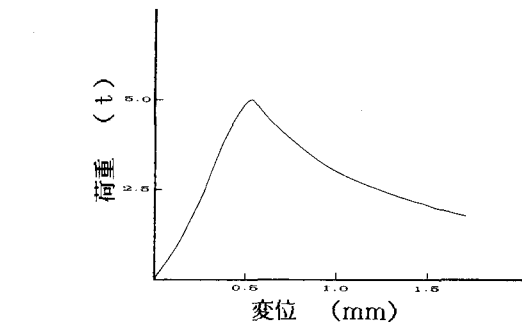


図-3 平均荷重-変位曲線

	相関係数		
	変位早 0.5 mm	変位遅 1.0 mm	変位終 1.5 mm
ME-ZVec1	-0.752	-0.771	-0.762

表-2 要素面積と図心ベクトルとの相関

角形	面積 S		
	0.5 mm	1.0 mm	1.5 mm
3	12.4	3.6	31.5
4	68.9	4.0	41.2
5	26.9	1.8	23.8
6	0.0	0	1.7
7	2.4	2	1.8
8	0.0	0	0

表-4 要素形状発生率

#### 4.まとめ

今回の実験・解析の結果を要約すると次のようである。

- 1) 破壊が進行するにしたがい三角形・四角形の発生は増えるが、その両者の発生率の和は70~80%を占め、シミュレーションによる予測とほぼ一致するが、三角形要素の割合はシミュレーションより小さい。
- 2) 破壊が進むにしたがって、偏平な要素が増える。
- 3) 要素面積の小さい三角形・四角形は外側に発生する。
- 4) 初期には比較的大きな要素が発生し、破壊が進むと小さな要素が増加する。

最後に本実験を行うにあたり、日本大学工学部学生、高梨、新妻及び藤田の諸氏の助力を得た。ここに謝意を表す。

#### 〈参考文献〉

- 1) 田野 久貴：破壊パターンのパーソナルコンピュータによるシミュレーション（その1）、（その2）  
日本大学工学部第29回学術研究報告会講演要旨集、昭和61年